

МИНИСТЕРСТВО НАУКИ И ВЫСШЕГО ОБРАЗОВАНИЯ  
РОССИЙСКОЙ ФЕДЕРАЦИИ

Федеральное государственное автономное  
образовательное учреждение высшего образования  
«Национальный исследовательский университет ИТМО»  
(Университет ИТМО)

Факультет систем управления и робототехники

ОТЧЕТ ПО ЛАБОРАТОРНОЙ РАБОТЕ №5  
по дисциплине  
*«Нелинейные системы»*

Студенты:

*Группа № R3435*

*Зыкин Л. В.*

*Группа № R3441*

*Алексова М. С.*

*Группа № R3480*

*Кисиков Д. С.*

Предподаватель:

*доцент, ведущий научный сотрудник*

*Зименко К. А.*

Санкт-Петербург  
2025

## **Введение**

В данной лабораторной работе рассматривается синтез стабилизирующих регуляторов на основе скользящих режимов для нелинейных систем управления. Метод скользящих режимов обеспечивает рабочесть к неопределеностям параметров и внешним возмущениям за счет использования разрывных или непрерывных законов управления с насыщением.

Основные задачи работы:

1. Синтез разрывного и непрерывного регуляторов для системы с параметрическими неопределеностями
2. Синтез стабилизирующего регулятора для системы с неизвестными параметрами
3. Разработка непрерывного регулятора для стабилизации маятника

Для каждой системы предполагается, что весь вектор состояния измерим, и необходимо провести анализ устойчивости и математическое моделирование синтезированных регуляторов.

### **Задача 1. Синтез разрывного и непрерывного регуляторов**

Рассмотрим систему:

$$\dot{x}_1 = x_2 + \sin x_1 \quad (1)$$

$$\dot{x}_2 = \theta_1 x_1^2 + (2 + \theta_2)u \quad (2)$$

где параметры  $\theta_1$  и  $\theta_2$  неизвестны, но ограничены:  $|\theta_1| \leq 1$ ,  $|\theta_2| \leq 1$ .

### **Выбор поверхности скольжения**

Выбираем поверхность скольжения в виде:

$$s = c_1 x_1 + x_2 = 0 \quad (3)$$

где  $c_1 > 0$  — параметр настройки. На поверхности скольжения система имеет динамику:

$$\dot{x}_1 = -c_1 x_1 + \sin x_1 \quad (4)$$

При малых  $x_1$  и выборе  $c_1 > 1$  эта динамика асимптотически устойчива.

## Производная поверхности скольжения

Вычисляем производную поверхности скольжения:

$$\dot{s} = c_1 \dot{x}_1 + \dot{x}_2 = c_1(x_2 + \sin x_1) + \theta_1 x_1^2 + (2 + \theta_2)u \quad (5)$$

Для обеспечения условия притяжения к поверхности скольжения  $\dot{s} = -ks$  (где  $k > 0$ ) получаем:

$$(2 + \theta_2)u = -ks - c_1(x_2 + \sin x_1) - \theta_1 x_1^2 \quad (6)$$

## Разрывный регулятор

Разрывный регулятор имеет вид:

$$u = u_{eq} - M \cdot \text{sign}(s) \quad (7)$$

где  $u_{eq}$  — эквивалентное управление (номинальное, при  $\theta_1 = 0, \theta_2 = 0$ ):

$$u_{eq} = -\frac{ks + c_1(x_2 + \sin x_1)}{2} \quad (8)$$

где  $k > 0$  — коэффициент, обеспечивающий  $\dot{s} = -ks$  на поверхности скольжения.

а  $M > 0$  выбирается достаточно большим для компенсации неопределенностей:

$$M \geq \frac{|\theta_1| x_1^2 + |\theta_2| |u_{eq}| + \delta}{2 - |\theta_2|} \quad (9)$$

где  $\delta > 0$  — запас робастности.

Условие притяжения к поверхности скольжения:

$$s\dot{s} = s(-ks - \Delta) = -ks^2 - s\Delta < 0 \quad (10)$$

где  $\Delta$  — неопределенность, компенсируемая разрывной частью управления.

## Непрерывный регулятор

Для устранения явления “дрожания” (chattering) используется непрерывный регулятор с функцией насыщения:

$$u = u_{eq} - M \cdot \tanh\left(\frac{s}{\phi}\right) \quad (11)$$

где  $\phi > 0$  — ширина граничного слоя. Функция  $\tanh(s/\phi)$  аппроксимирует  $\text{sign}(s)$  и обеспечивает непрерывность управления.

В граничном слое  $|s| < \phi$  система находится в режиме “квазискользения”, а вне граничного слоя поведение близко к разрывному регулятору.

## Анализ устойчивости

Рассмотрим функцию Ляпунова:

$$V = \frac{1}{2}s^2 \quad (12)$$

Производная функции Ляпунова:

$$\dot{V} = s\dot{s} = s(-ks - \Delta + (2 + \theta_2)u_{sw}) \quad (13)$$

где  $u_{sw} = -M \cdot \tanh(s/\phi)$  — разрывная часть управления.

При правильном выборе  $M$  обеспечивается  $\dot{V} < 0$  вне малой окрестности  $s = 0$ , что гарантирует притяжение к поверхности скольжения и последующую стабилизацию в начало координат.

## Моделирование системы 1

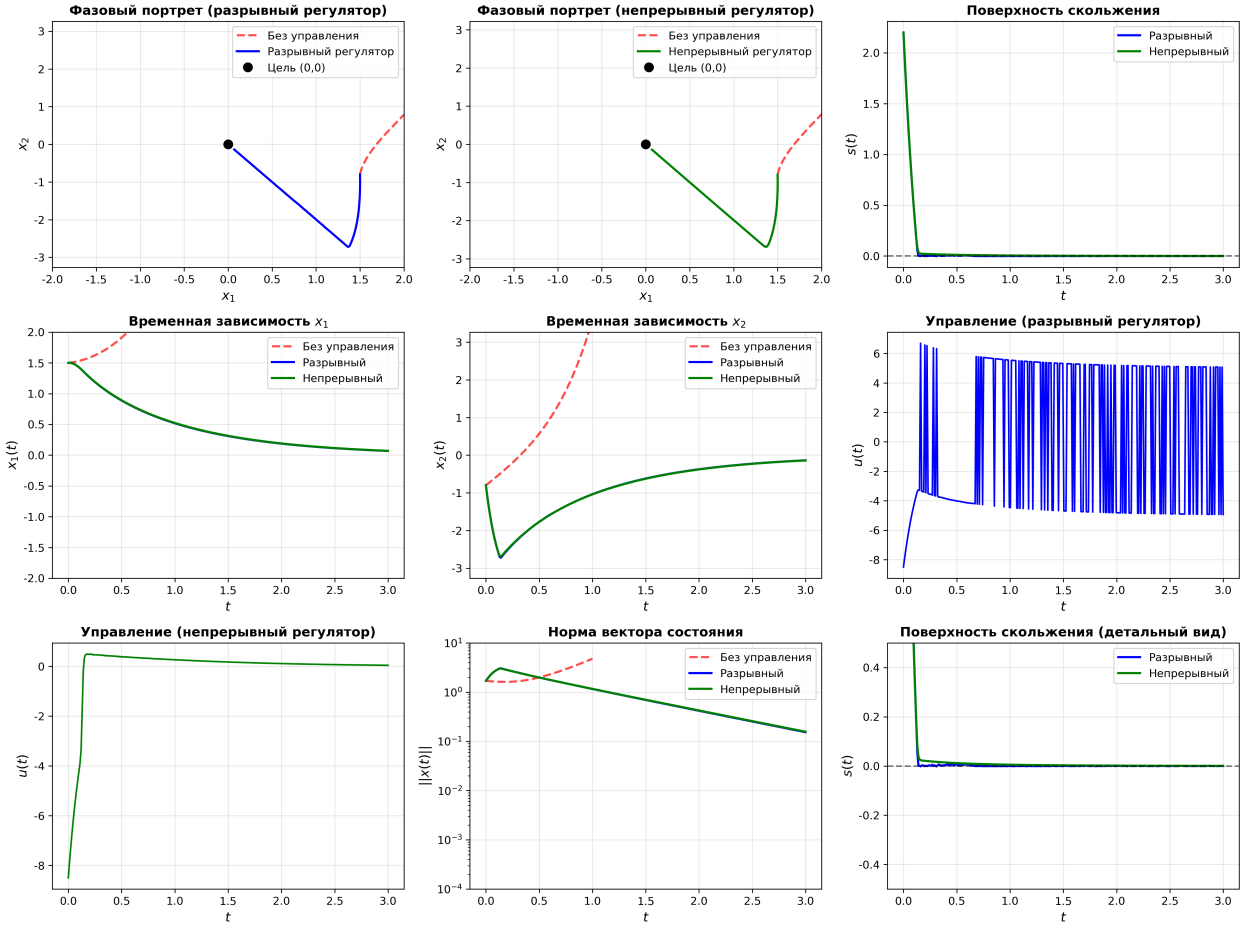


Рисунок 1 — Моделирование системы 1 с разрывным и непрерывным регуляторами

На рисунке 1 представлены результаты моделирования системы с разрывным и непрерывным регуляторами. Видно, что оба регулятора обеспечивают стабилизацию системы в начало координат. Непрерывный регулятор устраняет явление “дрожания”, характерное для разрывного регулятора, при сохранении робастных свойств.

## Задача 2. Синтез регулятора для системы с неизвестными параметрами

Рассмотрим систему:

$$\dot{x}_1 = x_2 + a_1 x_1 \sin x_1 \quad (14)$$

$$\dot{x}_2 = a_2 x_1 x_2 + 3u \quad (15)$$

где параметры  $a_1$  и  $a_2$  неизвестны, но ограничены:  $|a_1 - 1| \leq 1$ ,  $|a_2 - 1| \leq 1$ , то есть  $a_1 \in [0, 2]$ ,  $a_2 \in [0, 2]$ .

## **Выбор поверхности скольжения**

Выбираем поверхность скольжения:

$$s = c_1 x_1 + x_2 = 0 \quad (16)$$

где  $c_1 > 0$  — параметр настройки.

## **Производная поверхности скольжения**

Вычисляем производную:

$$\dot{s} = c_1(x_2 + a_1 x_1 \sin x_1) + a_2 x_1 x_2 + 3u \quad (17)$$

Для обеспечения  $\dot{s} = -ks$  получаем:

$$3u = -ks - c_1(x_2 + a_1 x_1 \sin x_1) - a_2 x_1 x_2 \quad (18)$$

## **Синтез регулятора**

Эквивалентное управление (номинальное, при  $a_1 = 1, a_2 = 1$ ):

$$u_{eq} = -\frac{c_1(x_2 + x_1 \sin x_1) + x_1 x_2}{3} \quad (19)$$

Непрерывный регулятор:

$$u = u_{eq} - M \cdot \tanh\left(\frac{s}{\phi}\right) \quad (20)$$

где  $M > 0$  выбирается для компенсации неопределенностей параметров  $a_1$  и  $a_2$ .

## **Анализ устойчивости**

Рассмотрим функцию Ляпунова  $V = \frac{1}{2}s^2$ . Производная:

$$\dot{V} = s\dot{s} = s(-ks - \Delta_{a_1} - \Delta_{a_2} + 3u_{sw}) \quad (21)$$

где  $\Delta_{a_1}$  и  $\Delta_{a_2}$  — неопределенности, связанные с параметрами  $a_1$  и  $a_2$ .

При выборе  $M$  достаточного большого обеспечивается  $\dot{V} < 0$ , что гарантирует притяжение к поверхности скольжения и стабилизацию системы.

## Моделирование системы 2

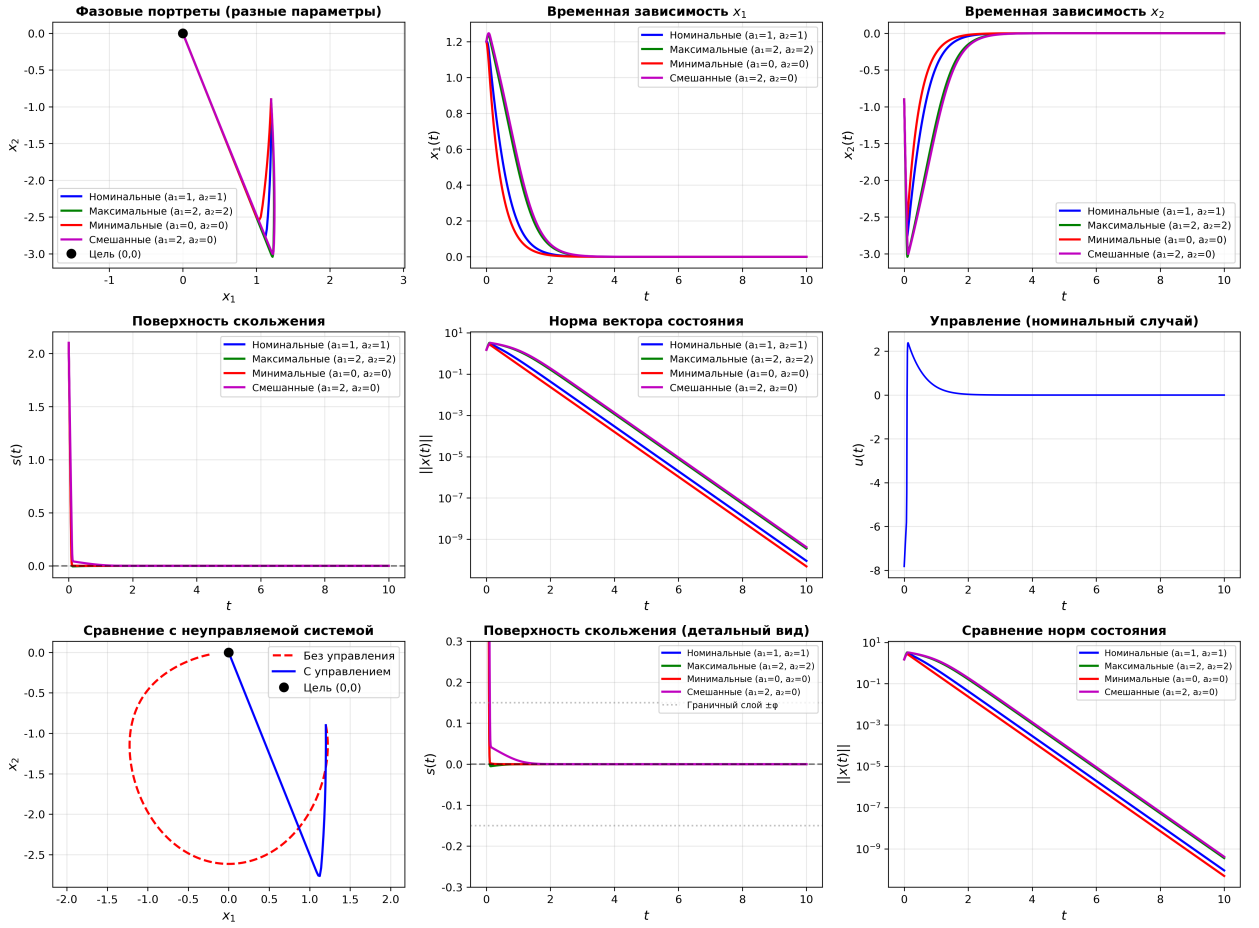


Рисунок 2 — Моделирование системы 2 с регулятором для различных значений параметров

На рисунке 2 представлены результаты моделирования системы с регулятором для различных комбинаций параметров  $a_1$  и  $a_2$  в допустимых пределах. Видно, что регулятор обеспечивает стабилизацию системы независимо от конкретных значений параметров, демонстрируя робастность метода скользящих режимов.

### Задача 3. Стабилизация маятника

Рассмотрим уравнение движения маятника:

$$ml\ddot{\theta} + mg \sin \theta + kl\dot{\theta} = \frac{T}{l} + mh(t) \cos \theta \quad (22)$$

где:

—  $l$  — длина маятника,  $0.8 \leq l \leq 1$  м

- $m$  — масса,  $0.5 \leq m \leq 1$  кг
- $k$  — коэффициент трения,  $0.1 \leq k \leq 0.2$  Н·с/м
- $h(t)$  — горизонтальное возмущение,  $|h(t)| \leq 0.5$  м/с<sup>2</sup>
- $T$  — управляющий момент
- $g = 9.81$  м/с<sup>2</sup> — ускорение свободного падения

Требуется стабилизировать маятник при  $\theta = 0$  для произвольных начальных условий.

### Приведение к нормальной форме

Вводя переменные состояния  $x_1 = \theta$ ,  $x_2 = \dot{\theta}$ , получаем систему:

$$\dot{x}_1 = x_2 \quad (23)$$

$$\dot{x}_2 = -\frac{g}{l} \sin x_1 - kx_2 + \frac{T}{ml^2} + \frac{h(t)}{l} \cos x_1 \quad (24)$$

### Выбор поверхности скольжения

Выбираем поверхность скольжения:

$$s = c_1 x_1 + x_2 = 0 \quad (25)$$

где  $c_1 > 0$  — параметр настройки. На поверхности скольжения динамика угла:

$$\dot{x}_1 = -c_1 x_1 + \text{малые члены} \quad (26)$$

что обеспечивает асимптотическую стабилизацию при  $c_1 > 0$ .

### Производная поверхности скольжения

Вычисляем производную:

$$\dot{s} = c_1 x_2 - \frac{g}{l} \sin x_1 - kx_2 + \frac{T}{ml^2} + \frac{h(t)}{l} \cos x_1 \quad (27)$$

Для обеспечения  $\dot{s} = -k_{sliding}s$  (где  $k_{sliding} > 0$ ) получаем:

$$\frac{T}{ml^2} = -k_{sliding}s - c_1 x_2 + \frac{g}{l} \sin x_1 + kx_2 - \frac{h(t)}{l} \cos x_1 \quad (28)$$

## Синтез непрерывного регулятора

Эквивалентное управление (номинальное, при средних значениях параметров):

$$T_{eq} = ml^2 \left( c_1 x_2 - \frac{g}{l} \sin x_1 + kx_2 \right) \quad (29)$$

Непрерывный регулятор:

$$T = T_{eq} - M \cdot \tanh \left( \frac{s}{\phi} \right) \quad (30)$$

где  $M > 0$  выбирается для компенсации неопределенностей параметров  $l, m, k$  и возмущения  $h(t)$ .

## Анализ устойчивости

Рассмотрим функцию Ляпунова  $V = \frac{1}{2}s^2$ . Производная:

$$\dot{V} = s\dot{s} = s(-k_{sliding}s - \Delta_{params} - \Delta_h + \frac{T_{sw}}{ml^2}) \quad (31)$$

где  $\Delta_{params}$  — неопределенности параметров,  $\Delta_h$  — возмущение от  $h(t)$ ,  $T_{sw} = -M \cdot \tanh(s/\phi)$  — разрывная часть управления.

При правильном выборе  $M$  обеспечивается  $\dot{V} < 0$ , что гарантирует притяжение к поверхности скольжения и стабилизацию маятника в вертикальное положение.

## Моделирование системы 3

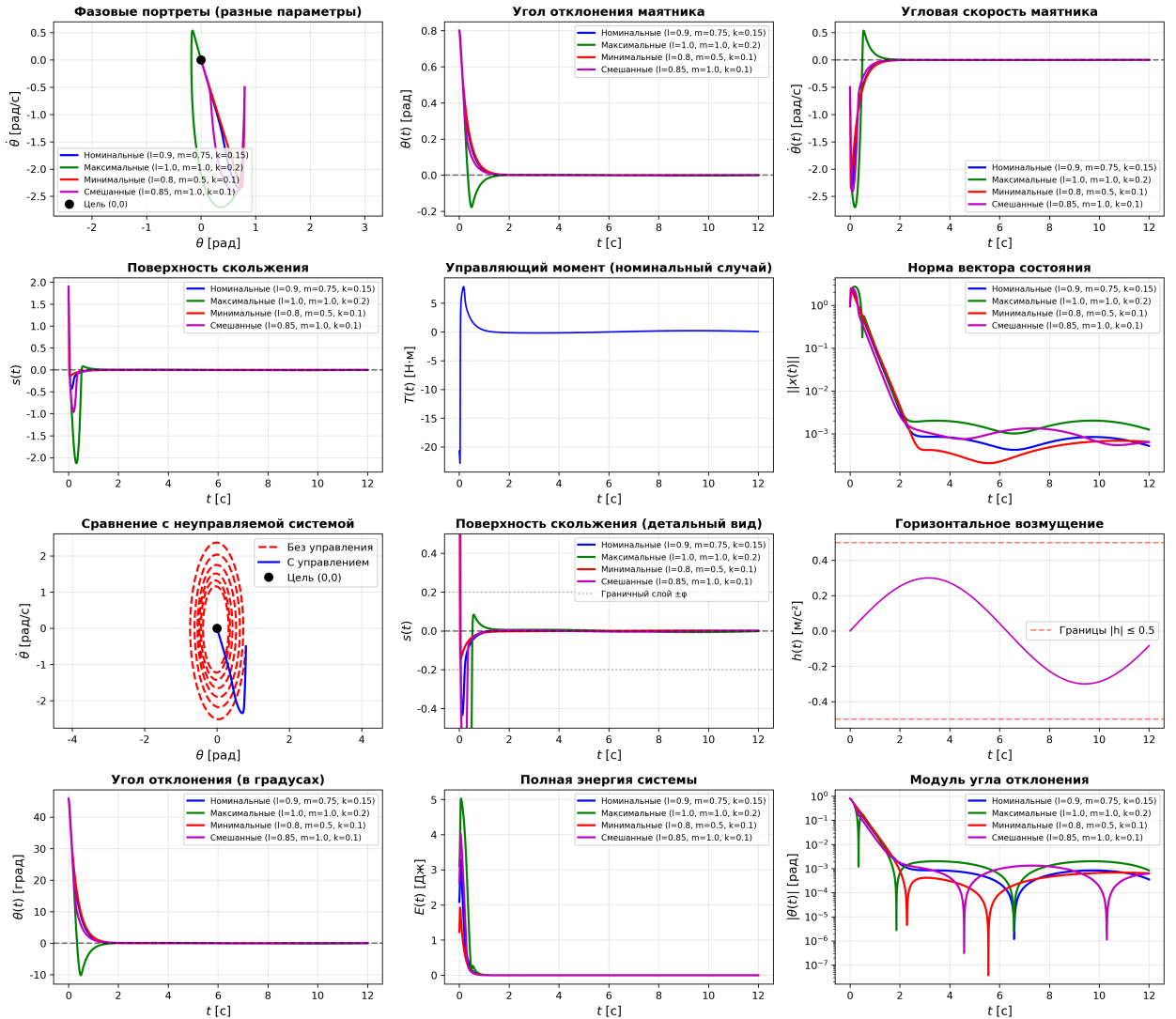


Рисунок 3 — Моделирование стабилизации маятника с регулятором для различных параметров

На рисунке 3 представлены результаты моделирования стабилизации маятника с регулятором для различных комбинаций параметров в допустимых пределах и различных возмущений  $h(t)$ . Видно, что регулятор обеспечивает стабилизацию маятника в вертикальное положение ( $\theta = 0$ ) независимо от начальных условий, параметров системы и внешних возмущений.

## **Заключение**

В ходе выполнения лабораторной работы были синтезированы стабилизирующие регуляторы на основе скользящих режимов для трех различных нелинейных систем:

1. Для системы с параметрическими неопределенностями синтезированы разрывный и непрерывный регуляторы. Непрерывный регулятор устраняет явление “дрожания”, сохраняя робастные свойства метода.
2. Для системы с неизвестными параметрами синтезирован непрерывный регулятор, демонстрирующий робастность к вариациям параметров в заданных пределах.
3. Для маятника синтезирован непрерывный регулятор, обеспечивающий стабилизацию в вертикальное положение при наличии неопределенностей параметров и внешних возмущений.

Все синтезированные регуляторы продемонстрировали эффективность метода скользящих режимов для обеспечения робастной стабилизации нелинейных систем с неопределенностями.